

## ЛИТЕРАТУРА

1. Johnson J. N. Dynamic fracture and spallation in ductile solids // J. Appl. Phys.—1981.—V. 52, N 4.
2. Уилкинс М. Л. Расчет упругопластических течений // Вычислительные методы в гидромеханике.—М.: Мир, 1967.
3. Carroll M. M., Holt A. C. Static and dynamic pore-collapse for ductile porous materials // J. Appl. Phys.—1972.—V. 43, N 4.
4. Белов Н. Н., Корнеев А. И., Николаев А. П. Численный анализ разрушений в плитах при действии импульсных нагрузок // ПМТФ.—1985.—№ 3.
5. Иванов А. Г., Клещевников О. А. и др. Откол в стали // ФГВ.—1981.—№ 6.
6. Белов Н. Н., Корнеев А. И., Симоненко В. Г. Исследование влияния прослойки из пористого материала на откольное разрушение металлических плит.—М., 1985.—Деп. в ВИНИТИ 25.12.85, № 8859—В85.
7. Шубин Е. П. О закономерностях изменения импульса давления на поверхности преграды вблизи заряда ВВ // ФГВ.—1965.—№ 3.
8. Баум Ф. М., Орленко Л. П., Станюкович К. П. и др. Физика взрыва.—М.: Наука, 1975.
9. Райнхарт Дж. Некоторые экспериментальные данные о напряжениях, вызванных взрывом // Механика.—1953.—№ 4.

Поступила 4/II 1987 г.

УДК 539.4

## УРАВНЕНИЯ ИЗОТРОПНОГО ДЕФОРМИРОВАНИЯ ГАЗОНАСЫЩЕННЫХ МАТЕРИАЛОВ С УЧЕТОМ БОЛЬШИХ ДЕФОРМАЦИЙ ШАРОВЫХ ПОР

B. A. Буряченко, A. M. Липанов

(Москва)

Рассматривается композитная среда, состоящая из однородной изотропной матрицы и шаровых пор, насыщенных газом. Характер расположения пор принимается статистически-однородным. Ранее с помощью предложенного метода эффективного поля [1—3] получены уравнения состояния газонасыщенных пористых сред в предположении малых деформаций пор и среды в целом [1]. В случае общих типов больших деформаций естественно рассматривать методы решения при помощи последовательных приближений [4], что было сделано для композитных сред методом условных моментных функций [5]. Сильным допущением метода условных моментных функций является предположение об однородности полей напряжений в пределах каждого компонента, что приводит к значительным погрешностям в оценке эффективных параметров линейно-упругих сред в сравнении с методом эффективного поля [1, 2]. Анализ произвольно больших деформаций рассмотрен для частного случая изотропного деформирования материала с шаровыми порами и несжимаемой матрицей с использованием ячеистой модели [6, 7]. В данной работе решена аналогичная задача с учетом действия давления газа в порах с помощью привлечения идей метода эффективного поля [1, 2], хорошо себя зарекомендовавшего при исследовании линейных задач микронеоднородных сред.

**1. Физическая модель.** В ряде практически важных задач представляется интерес исследование объемного деформирования резиноподобных материалов с малой ( $\leq 1\%$ ) пористостью. Для определенности будем описывать деформационные свойства матрицы потенциалом Муни [4]. В линейных задачах газонасыщенных пористых сред показано [1], что для шаровых пор в несжимаемой матрице эффекты бинарного взаимодействия включений при малой пористости несущественны и эффективный объемный модуль определяется решением линейно-упругой задачи об одиночном включении, находящемся в матрице с заданным на бесконечности некоторым эффективным полем напряжений. Поэтому можно считать допустимой ячеистую модель [6, 7], предполагающую эквивалентность деформационных свойств пористой среды и толстостенной сферической оболочки с отношением объемов поры и шарового элемента, равного пористости композитной среды. В данной работе используем позитивные идеи метода эффективного поля и поместим шаровой элемент в матрицу с заданным на бесконечности эффективным полем напряжений, отличным от действующего. Параметры этого поля найдем самосогласованным методом эффектив-

ного поля [1, 3]. Метод позволяет отказаться от постулирования связи относительных размеров шарового элемента с пористостью среды, но предполагает пористость столь малой, что при возможной большой деформации поверхности пор деформации поверхности шарового элемента малы.

**2. Метод эффективного поля в линейных задачах микронеоднородных сред.** Приведем некоторые полезные в дальнейшем соотношения, следующие из [1, 2]. Пусть в линейно-упругой среде с модулем  $L_0$  распределено пуассоновское множество  $X = (x_k, r_k, V_k)$  шаровых пор  $v_k$  с центрами в  $x_k$ , радиусами  $r_k$ , характеристическими функциями  $V_k$  и давлением  $p$  газа в порах. Тогда уравнение состояния материала имеет вид

$$(2.1) \quad \sigma(x) = (1 - V(x))L_0\epsilon(x) - V(x)q.$$

Здесь  $q = p^{\delta_{ij}}$  — двухвалентный тензор;  $V(x) = \bigcup_k V_k(x)$ ;  $\sigma$  и  $\epsilon$  — тензоры напряжений деформаций. При изотропности компонент

$$L_0 = (3k_0, 2\mu_0) = 3k_0N_1 + 2\mu_0N_2,$$

$$N_1 = (1/3)\delta_{ij}\delta_{kl}, N_2 = (1/3)(\delta_{ik}\delta_{jl} + \delta_{il}\delta_{jk} - (2/3)\delta_{ij}\delta_{kl}).$$

Уравнение (2.1) отличается от принятого в [8]

$$(2.2) \quad \sigma(x) = (1 - V(x))L_0(x)\epsilon(x) + (L_2\epsilon(x) - q_0)V(x),$$

где  $L_2 = (3k_2, 2\mu_2)$  — изотропный модуль упругости поровой фазы;  $\mu_2 = 0$  — модуль сдвига;  $k_2 \neq 0$ ;  $q_0 = p_0\delta_{ij}$ ;  $p_0$  — давление газа в недеформированном исходном материале. Использование текущего давления  $p$  (2.1), а не начального  $p_0$  (2.2) приводит к «исчезновению» объемного модуля поровой фазы и упрощению дальнейших выкладок.

Подстановка (2.1) в уравнение равновесия  $\operatorname{div} \sigma = 0$  и последующее решение полученных соотношений методом эффективного поля [1] позволяют оценить эффективные параметры  $L_*$ ,  $\epsilon_q$  уравнения макросостояния

$$(2.3) \quad \langle \sigma \rangle = L_*(\langle \epsilon \rangle - \epsilon_q), \quad \epsilon_q = (L_*^{-1} - L_0^{-1})_q$$

( $\langle \dots \rangle$  означает операцию осреднения по микрообъему пористой среды). В случае шаровых пор одного размера получим [1]  $L_* = (3k_*, 2\mu_*)$ , где

$$(2.4) \quad 3k_* = (4\mu_0/c)[1 - (29/24)c];$$

$$(2.5) \quad 2\mu_* = 2\mu_0\{1 + (5/3)c[1 - (35/24)c]^{-1}\}^{-1}.$$

Здесь члены в квадратных скобках, описывающие бинарное взаимодействие включений, несущественны при малой пористости  $c = \langle V \rangle$  по сравнению с членами, полученными из решения задачи об одиночной поре, находящейся в матрице с заданным на бесконечности эффективным полем  $\epsilon$  [1], равным в данном случае

$$(2.6) \quad \bar{\epsilon} = D^\epsilon(\langle \epsilon \rangle + J), \quad D^\epsilon = ([1 - (29/24)c]^{-1}, [1 - (35/24)c]^{-1}), \quad J = ((5/24)cp, 0).$$

Действительно, при пористости  $c = 1\%$  объемный модуль  $k_*$ , оцененный по (2.4), с учетом и без учета бинарного взаимодействия включений равен 131,7  $\mu_0$  и 133,3  $\mu_0$  соответственно. Модуль сдвига  $\mu_*$  при малой пористости слабо зависит от  $c$ ; при уменьшении  $c$  в 4 раза (от 2 до 0,5%)  $\mu_*$  увеличивается лишь на 2,5% — от 0,97  $\mu_0$  до 0,99  $\mu_0$ .

Проанализируем необходимую в дальнейшем задачу о деформировании композитной среды, состоящей из линейно-упругой матрицы с модулем  $L_0$  и пуассоновским множеством  $X = (x_k, r'_k, V_k, L_1^{(k)}, \alpha^{(k)})$  шаровых включений  $v'_k$  с центрами в  $x_k$ , радиусами  $r'_k$ , характеристическими функциями  $V_k$ , модулями  $L_0 + L_1^{(k)}$  и параметром  $\alpha^{(k)}$ , так что локальное уравнение состояния имеет вид

$$(2.7) \quad \sigma(x) = L(x)(\epsilon(x) - \alpha(x)).$$

Здесь  $\alpha(x) = 0$ ,  $L(x) = L_0$  при  $V(x) = 0$  и  $L(x) = L_0 + L_1^{(k)}$ ,  $\alpha(x) = \alpha^{(k)}$  при  $x \in v_k$ . Уравнение (2.7) формально совпадает с уравнением термоупругости композитной среды [2] с нулевым коэффициентом линейного расширения матрицы. Это позволяет для оценки эффективных параметров композитной среды  $L_*$ ,  $\alpha_*$  в уравнении

$$(2.8) \quad \langle \sigma \rangle = L_* (\langle \epsilon \rangle - \alpha_*)$$

использовать метод эффективного поля [2]

$$(2.9) \quad L_* = L_0 (I + L_0 D \langle BM_1 V \rangle)^{-1}, \quad \alpha_* = D \langle B \alpha V \rangle,$$

где выражения для тензора концентрации напряжений  $B$  на изолированном включении в бесконечной матрице и тензора концентрации напряжений  $D$ , описывающего влияние окружающих включений, приведены в [2];  $M_1(x) = (L_0 + L_1^{(k)})^{-1} - L_0^{-1}$  при  $x \in V_k$ .

**3. Расчет шарового элемента.** Рассмотрим толстостенную сферическую оболочку с внутренним и внешним радиусами в недеформированном состоянии  $R_1$  и  $R_2$ . Деформационные свойства материала описываются потенциалом Муни с константами  $a_1$ ,  $a_2$

$$(3.1) \quad W = a_1(I_1 - 3) + a_2(I_2 - 3)$$

( $I_i$  ( $i = 1, 2, 3$ ) — инварианты, ассоциированные с тензором деформаций Лагранжа, которые в условиях центрально-симметричного деформирования связаны с удлинениями  $\lambda$  соотношениями  $I_1 = 3\lambda^2$ ,  $I_2 = 3\lambda^4$ ,  $I_3 = \lambda^6$ ). Параметр удлинения  $\lambda$  определяет зависимость расстояний до центра оболочки точек элемента до и после деформирования  $R = \lambda^{-1}r$ , для внутренней и внешней поверхностей оболочки получим  $r_1 = \lambda_1 R_1$  и  $r_2 = \lambda_2 R_2$ .

В случае нагружения оболочки внутренним и внешним давлениями  $p_1$  и  $p_2$  решение для больших деформаций шарового элемента известно [6, 9]:

$$(3.2) \quad -p_2 = a_1 [1/\lambda_2^4 + 4/\lambda_2 - (1/\lambda_1^4 + 4\lambda_1)] + 2a_2 [1/\lambda_2^2 - 2\lambda_2 - (1/\lambda_1^2 - 2\lambda_1)] - p_1.$$

Для несжимаемого материала имеет место равенство  $r_1^3 - R_1^3 = r_2^3 - R_2^3$ , тогда с помощью параметра  $\gamma = R_1^3/R_2^3$ , характеризующего относительную долю объема поры в недеформированном шаровом элементе, найдем

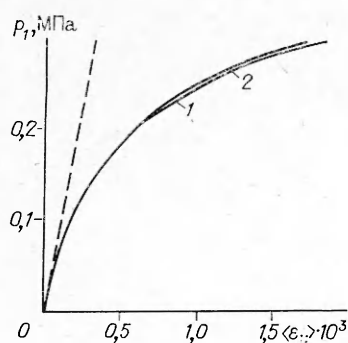
$$(3.3) \quad \lambda_1^3 = (\lambda_2^3 - 1)/\gamma + 1.$$

Соотношения (3.2), (3.3) позволяют по заданным  $p_1$ ,  $p_2$  найти  $\lambda_1$ ,  $\lambda_2$ . В дальнейшем выберем  $\gamma$  столь малым, что в выражении  $\lambda_2 = 1 + \xi$   $\xi$  мало и  $\lambda_2^3 = 3\xi/\gamma + 1$ . Тогда шаровой элемент можно заменить линейно-упругим шаром, деформационные свойства которого описываются уравнением (2.7) с модулями

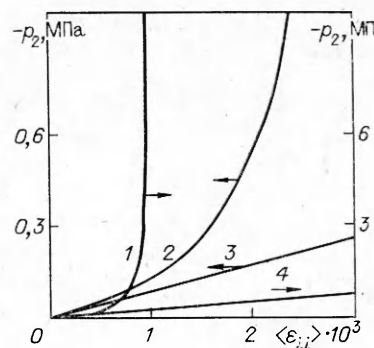
$$(3.4) \quad L(x) = L^3 = (3k^3, 2\mu^3), \quad \alpha(x) = \alpha^3 = 3\xi^3 \delta_{ij},$$

где  $\xi^3$  найдено из решения (3.2), (3.3) при  $p_2 = 0$  и  $k^3 = p_2/(1 + \xi^3 - \lambda_2)$ ;  $\mu^3 = \mu_*$ ; вследствие малого влияния пористости на  $\mu_*$  при малых  $\gamma$  для  $\mu^3$  использовано выражение (2.5), полученное при малых деформациях пор.

**4. Оценка эффективных параметров среды.** Согласно физической модели газонасыщенной пористой среды, будем считать, что ее изотропное деформирование эквивалентно изотропному деформированию композитной среды, состоящей из матрицы с модулем  $L_0 = (3k_0, 2\mu_0)$ ,  $k_0 = \infty$ ,  $\mu_0 = 2(a_1 + a_2)$  и пуассоновского множества шаровых включений с модулем  $L^3$  и параметром  $\alpha^3$  (3.4). Для определенности рассмотрим включения одного размера со степенью наполнения  $c^3 = c_0/\gamma$  ( $c_0$  — пористость в недеформированном состоянии). Тогда уравнение изотропного деформирова-



Р и с. 1



Р и с. 2

ния описывается уравнениями (2.8), (2.9), в которых тензоры  $B$ ,  $D$  известным образом выражаются через  $L_0$ ,  $L^3$ ,  $c^3$  [2].

Параметр  $\alpha_*$  в (2.8) зависит от давления газа  $p_1$ , которое в свою очередь определяется деформацией поровой фазы. В случае, если задана получаемая экспериментально среднеобъемная концентрация газа  $w$  в макрообласти, то, согласно законам Генри и Менделеева — Клапейрона [1],

$$(4.1) \quad p_1 = w [(1 - c\lambda_1^3) \Gamma + c\lambda_1^3 \mu' / R' T].$$

Здесь в квадратных скобках первое слагаемое с константой Генри  $\Gamma$  описывает вклад средней концентрации растворенного в твердой фазе газа, а второе учитывает наличие в поровой фазе газа с молекулярным весом  $\mu'$  при температуре  $T$ ;  $R'$  — газовая постоянная. Формула (4.1) очевидным образом обобщается на смесь газов.

Заметим, что отдельные принятые в работе допущения непринципиальны и могут быть ослаблены. Действительно, существенным допущением является предположение о малых деформациях наружной поверхности шарового элемента, что позволило свести задачу к линейной (2.7) и решить ее методом эффективного поля [2]. Это предположение при больших деформациях пор приводит к необходимости выбора достаточно малого  $\gamma$  (3.3), что возможно лишь при малой пористости. Принятие же допущения о несжимаемости матрицы и использование потенциала Муни (3.1) потребовались лишь при аналитическом решении задачи для шарового элемента (3.2), (3.3). В общем случае может быть рассмотрен любой упругий потенциал энергии деформирования  $W$  с численным решением задачи для шарового элемента (3.4).

В качестве примера рассмотрим различные случаи изотропного нагружения газонасыщенной пористой среды. Пусть  $\langle \sigma \rangle = 0$  и найдем макродеформацию среды  $\langle \varepsilon \rangle$  и поровой фазы  $c(\lambda_1^3 - 1)$  при различных значениях  $p_1$ . Примем характерные для каучука значения  $a_1 = 0,1$  МПа,  $a_2 = 0,01$  МПа [6] и  $c = 10^{-3}$ . На рис. 1 кривые 1 и 2 (для  $\gamma = 10^{-2}$  и  $2 \times 10^{-3}$ ) рассчитаны по нелинейной теории (2.8), (3.4), а штриховая — по линейным соотношениям (2.3), (2.4). Небольшое отличие между кривыми объясняется самосогласованностью оценок  $D$ ,  $B$  (2.9), полученных методом эффективного поля. С помощью рис. 1 можно оценить различие расчетов по линейной и нелинейной моделям при умеренных значениях  $p_1$ , а использование дополнительного соотношения (4.1) позволяет найти необходимое для данного режима нагружения значение среднеобъемной концентрации газа  $w$ . На рис. 2 представлены кривые 1, 4 и 2, 5 объемного деформирования среды при  $p_1 = 0$ ,  $c = 10^{-3}$  и  $c = 5 \cdot 10^{-3}$  соответственно. Линии 3, 4 рассчитаны по линейной теории (2.3), (2.4), а 1, 2 — по нелинейной. При отрицательном гидростатическом напряжении кривые  $\langle \sigma_{ii} \rangle = \langle \sigma_{ii} \rangle (\langle \varepsilon_{ii} \rangle)$  имеют вертикальную асимптоту, которая при малых  $c$  равна  $\langle \varepsilon_{ii} \rangle = c_0$  и стремится к оси ординат  $\langle \varepsilon_{ii} \rangle = 0$  при уменьшении  $c_0$ . При изотропном расширении вертикальной асимптоты нет, да-

же при  $c = 10^{-3}$  изотропное расширение среды может превысить значение  $\langle \varepsilon_{ii} \rangle = 0,1$ . Так как материал всегда содержит некоторое количество пор, то отсюда следует, что абсолютно изотропно нерастяжимых материалов не существует. Тогда возникает вопрос о правомочности использования потенциала Муни в области больших изотропных растяжений. Кроме того, параметры различных упругих потенциалов изотропно деформируемых материалов определяют, как правило, при гидростатическом сжатии [10]. Вследствие проведенного анализа использование найденных параметров в области большого гидростатического растяжения представляется некорректным.

#### ЛИТЕРАТУРА

- Буряченко В. А., Липанов А. М. Уравнения механики газонасыщенных пористых сред // ПМТФ.— 1986.— № 4.
- Буряченко В. А., Липанов А. М. Концентрация напряжений на эллипсоидальных включениях и эффективные термоупругие свойства композитных материалов // ПМ.— 1986.— Т. 22, № 11.
- Буряченко В. А. Корреляционная функция полей напряжений в матричных композитах // Изв. АН СССР. МТТ.— 1987.— № 3.
- Грин А., Адкинс Д. Большие упругие деформации и нелинейная механика сплошной среды.— М.: Мир, 1965.
- Маслов Б. П. Эффективные постоянные в теории геометрически нелинейных твердых тел // ПМ.— 1981.— Т. 17, № 5.
- Hashin Z. Large isotropic deformation of composites and porous media // Intern. J. Solids and Structure.— 1985.— V. 21, N 7.
- Кристенсен Р. Введение в механику композитов.— М.: Мир, 1982.
- Хорошун Л. П. К теории насыщенных пористых сред // ПМ.— 1976.— Т. 12, № 12.
- Green A. E., Zerna W. Theoretical elasticity.— Oxford: Clarendon Press, 1954.
- Черных К. Ф., Шубина И. М. Об учете сжимаемости резины // Механика эластомеров.— Краснодар: Кубан. ун-т, 1978.— Вып. 263.

Поступила 24/III 1987 г.

УДК 539.378

### УПРУГОПЛАСТИЧЕСКИЕ СВОЙСТВА МНОГОКОМПОНЕНТНЫХ КОМПОЗИЦИОННЫХ МАТЕРИАЛОВ

Л. А. Сараев

(Куйбышев)

Прогнозирование неупругих свойств материалов со случайными неоднородностями — одно из актуальных направлений современной механики деформируемого твердого тела. Моделирование макроскопических определяющих соотношений и вычисление эффективных характеристик таких сред помогают во многих случаях достаточно точно оценивать деформационные свойства, предельное состояние и несущую способность элементов конструкций, изготовленных из композиционных, порошковых и других конструкционных материалов. Макроскопическое поведение многокомпонентных жесткопластических и упругопластических композитов в рамках теории течения исследовано в [1, 2].

В настоящей работе рассматривается применение метода обобщенного сингулярного приближения теории случайных полей для описания малых упругопластических деформаций композиционных материалов с произвольным числом составляющих компонентов. В корреляционном приближении аналогичная задача решена в [3, 4].

Пусть микронеоднородная среда, заполняющая объем  $V$ , ограниченный поверхностью  $S$ , образована  $n$  различными упругопластическими компонентами, соединенными между собой с идеальной адгезией. Определяющие соотношения для материала каждого ее компонента задаются уравнениями

$$(1) \quad s_{ij} = 2\mu_s(\varepsilon_{kl})e_{ij}, \quad \sigma_{pp} = 3K_s\varepsilon_{pp} \quad (s = 1, 2, \dots, n).$$

Здесь  $s_{ij} = \sigma_{ij} - (1/3)\delta_{ij}\sigma_{pp}$ ;  $e_{ij} = \varepsilon_{ij} - (1/3)\delta_{ij}\varepsilon_{pp}$ ;  $\sigma_{ij}$ ,  $\varepsilon_{ij}$  — компоненты тензоров напряжений и деформаций;  $\mu_s(\varepsilon_{kl})$  — модуль пластичности сдвига;  $K_s$  — объемный модуль  $s$ -го компонента ( $K_s = \text{const}$ ).